



مرواری بر روش‌های تولید لوله‌های فوق ریزدانه و نانوساختار توسط اعمال تغییر شکل پلاستیک شدید

حسام تراب زاده کاشی^۱, قادر فرجی^{۲*}

۱- کارشناسی ارشد، مهندسی مکانیک، دانشگاه تهران، تهران

۲- استادیار، مهندسی مکانیک، دانشگاه تهران، تهران

*تهران، صندوق پستی ۱۱۱۵۵-۴۵۶۳

چکیده

در این مقاله سعی شده است تا ساختار عملکردی روش‌های تولید لوله فوق ریزدانه و نانوساختار عنوان شود و تاثیرات مکانیکی و متالوژیکی این روش‌ها بر روی ماده به طور کامل بررسی شود. مواد فوق ریزدانه شامل دانه‌ها با میانگین اندازه ۱۰۰-۱۰۰۰ نانومتر هستند و اگر اندازه دانه‌های مواد کمتر از ۱۰۰ نانومتر باشدند، این نوع مواد جز نانوساختارها دسته‌بندی می‌شوند که در صنایع مختلف هوایی، خودرو، نظامی و پزشکی از اهمیت خاصی برخوردار است. عموماً روش‌های معرفی شده در این مقاله بر روی مواد پرکاربرد نظیر آلومینیوم و مس خالص و الیاف منبیزم AZ91 انجام گرفته است. در روش‌های تغییر شکل پلاستیک شدید عموماً کرنش بسیار بالایی در دمای پایین به ماده اعمال می‌شود تا ماده به صورت فوق ریزدانه یا حتی نانوساختار تغییر ریزساختار دهد. اکثر روش‌های تغییر شکل پلاستیک شدید فوق ریزدانه به تولید مواد فوق ریزدانه به صورت توده‌ای هستند، در صورتیکه در دهه اخیر با توجه به نیاز روز افزون قطعات لوله‌ای با استحکام بالا و شکل پذیری مناسب، تحقیقاتی در جهت تولید لوله‌های فوق ریزدانه انجام شده است. پیشرفت‌هایی صورت گرفته در این زمینه به صورت مدون ارائه شده است تا مزایا و معایب هریک از فرآیندها به صورت واضح قابل مقایسه باشند. ویژگی‌های ریزساختاری، مزایای مواد فوق ریزدانه و نانو ساختار، بهبود خواص مکانیکی نسبت به مواد دانه درشت مورد بحث قرار خواهد گرفت. همچنین در هریک از روش‌های معرفی شده، مکانیزم‌های تغییر شکل و اصلاح دانه بندی ماده اعم از حرکت نابجایی، تشکیل دوقلویی، لغزش مرزدانه‌ای و غیره مورد بررسی قرار گرفته است.

اطلاعات مقاله

دریافت پژوهشی کامل: ۱۳۹۴

پذیرش: ۲۳ اردیبهشت ۱۳۹۵

ارائه در سایت: ۱۲ تیر ۱۳۹۵

کلید واژگان:

تغییر شکل پلاستیک شدید

لوله‌های فوق ریزدانه

مواد نانوساختار

خواص مکانیکی

ساختار ریز دانه

A review of the production of ultrafine grained and nanograined metals by applying severe plastic deformation

Hessam Torabzadeh Kashi, Ghader Faraji*

Department of Mechanical Engineering, University of Tehran, Tehran, Iran
* P.O.B. 11155-4563, Tehran, Iran, ghfaraji@ut.ac.ir

ARTICLE INFORMATION

Original Research Paper
Received 29 February 2016
Accepted 12 May 2016
Available Online 02 July 2016

Keywords:
Severe plastic deformation
Ultrafine-grain tubes
Nanomaterial
Mechanical properties
grain refinement

ABSTRACT

In this article, the structure of methods to produce ultrafine-grained (UFG) tubes is studied. The metallurgical and mechanical effects of these methods on the materials are fully investigated. Ultrafine grained materials have grains with an average size of 100-1000 nm. If the grain size is less than 100 nm, the material is classified as the nanostructure which has numerous applications in different industries such as aerospace, automobile, military and medical. Generally, the methods presented in this paper have been done on common materials like aluminum and pure copper and magnesium alloy AZ91. Generally, in severe plastic deformation (SPD) methods, very high strain applied to the material at low temperatures to change microstructure for ultrafine or nanostructure. Most severe plastic deformation methods are used for producing ultra-fine grain bulk, whereas the need for strong tube increased in the last decade. Therefore, types of researches were conducted to produce UFG tubes. Advances have been presented completely so that the advantages and disadvantages of each process are clearly comparable. Microstructural features, benefits ultrafine grained and nanostructured materials, improved mechanical properties will be discussed. Furthermore, this article reviews the refinement and deformation mechanisms, e.g. dislocation deformation mechanism, twin deformation mechanism, grain boundary sliding, etc. of SPD methods.

دماهای پایین‌تر و نرخ کرنش‌های بالاتر، خاصیت شکل‌پذیری عالی از خود

نشان می‌دهند [۳]. معمولاً مواد فوق ریزدانه، دانه‌بندی هم محور و همگن با مرزدانه‌های زوایای بالا دارند [۵,۴]. حضور درصد بیشتری از مرزدانه‌های با زوایای بالا، دستیابی به خواص مطلوب را آسان‌تر می‌نماید. در این ارتباط،

۱- مقدمه
مواد فوق ریزدانه به عنوان نسل جدیدی از محصولات فلزی مطرح هستند که خواص فیزیکی و مکانیکی آنها در مقایسه با مواد درشت دانه بطور قابل ملاحظه‌ای بالا بهبود یافته است [۲, ۱]. همچنین مواد فوق ریزدانه در

Please cite this article using:

H. Torabzadeh Kashi, Gh. Faraji, A review of the production of ultrafine grained and nanograined metals by applying severe plastic deformation, *Modares Mechanical Engineering*, Vol. 16, No. 6, pp. 271-282, 2016 (in Persian)

برای ارجاع به این مقاله از عبارت ذیل استفاده نمایید:

آورده شده است. از آنجا که در لوله های بدون درز جوش و عیوب مربوط به آن وجود ندارد، تولید آنها از الزامات صنایع مختلف محسوب می شود. لوله های بدون درز با استحکام و قابلیت اعتماد بالا تولید می شوند و جهت تحمل فشار، کارایی زیادی دارند [19]. معمولاً لوله های بدون درز به یکی از روش های زیر تولید می شوند که باعث فوق ریزدانه شدن ماده نخواهد شد.

اکستروژن لوله: در این روش یک شمش توپر بر روی یک میله کشیده می شود تا در این حالت لوله بر روی میله شکل گیرد. بیلت اولیه ابتدا تا دمای مشخصی گرم می شود تا شکل دهی ماده آسان تر شود. این روش معمولاً برای فلزات غیر آهنی استفاده می شود [20].

ریخته گری گریز از مرکز: در این روش مذاب فلز مورد نظر در یک قالب استوانه ای افقی که در حال چرخش است، ریخته می شود. با تکمیل فرآیند ریخته گری لوله مطلوب بدست می آید که عموماً کوتاه و ضخیم هستند و در صنایع مختلف کارایی فراوانی دارند [21].

روش مانیسمان یا نورد متقاطع: این روش مناسب تولید لوله های بدون درز می باشد که ابتدا با اعمال نیروی جانبی و چرخش بیلت اولیه سوراخی در داخل بیلت ایجاد می شود. سپس با استفاده از ماندرلی ثابت سوراخ لوله چرخان بزرگ تر شده و لوله بدون درز نهایی تولید می گردد. این روش معمولاً جهت تولید لوله های بدون درز آهنی استفاده می شود. کشش لوله: این روش معمولاً متعاقب روش های فوق و جهت تولید لوله های نازک تر با قطرهای کمتر بدون درز استفاده می شود.

3- رویکردهای متفاوت در بررسی روش های مدرن تولید لوله فوق ریزدانه

اساس روش های تغییر شکل پلاستیک شدید اعمال کرنش زیاد بدون تغییر ابعادی در ماده است [22]. تغییرات ریزساختار و اصلاح دانه بندی ماده در اثر اعمال کرنش زیاد ویژگی اصلی روش های تغییر شکل پلاستیک شدید است [23]. بر اثر اصلاح ریزساختار ماده، خواص مکانیکی ماده دچار تغییرات مطلوب می شود. توجه به مکانیزم تغییر شکل ماده در بعد میکروسکوپیک می تواند دلایل تغییر رفتار ماده در بعد میکروسکوپیک را توجیه نماید.

3-1- ویژگی های ریزساختاری مواد فوق ریزدانه

با اعمال تغییر شکل در ماده، تعداد نابجایی ها افزایش خواهد یافت و به مرور با ترتیب خاصی بسته به جهت بار وارد شده در کنار هم قرار می گیرند و منجر به تولید دانه ها با مرزدانه با زاویه کم¹³ می شوند. با تغییر شکل بیشتر، دانه ها دچار چرخش خواهند شد و دانه ها با مرزدانه با زاویه زیاد¹⁴ ریزساختار ماده را فرا می گیرند [24]. در بسیاری از مواد فوق ریزدانه وجود مرزدانه ها با زاویه زیاد به صورتی که تغییر جهت در دانه های مجاور بیش از 15 درجه است، گزارش شده است [26,25]. علاوه بر توزیع اندازه دانه در ماده، تغییر جهت مرزدانه ها نسبت به هم در مواد فوق ریزدانه از اهمیت بالایی برخوردار هستند [27]. تغییر جهت مرزدانه ها نسبت به هم معمولاً با اندازه گیری پارامتری تحت عنوان تابع توزیع تغییر جهت¹⁵ معرفی می شود که درصد مرزدانه ها با زاویه کم و زیاد را مشخص می کند و مقدار تکرار جهت گیری دانه ها نسبت به هم را نشان می دهد [28]. بافت کریستالوگرافی¹⁶ از مواد دیگری است که معمولاً در مواد فوق ریزدانه مورد بررسی قرار می گیرد. مواد

¹³ low-angle grain boundary (LAGB)

¹⁴ high-angle grain boundary (HAGB)

¹⁵ disorientation distribution function (DDF)

¹⁶ Crystallographic texture

ثابت شده است که یکی از موثرترین روش های فرآوری مواد فوق ریزدانه اعمال تغییر شکل پلاستیک شدید¹ می باشد [6]. در روش های تغییر شکل پلاستیک شدید وجود فشار هیدرواستاتیکی زیاد به همراه کرنش برشی شدید باعث تولید عیوبی ناظیر نابجایی ها با چگالی بالا در شکله کریستالی می گردد [7]. از طرفی دیگر وجود فشار هیدرواستاتیک مانع از ایجاد ترک در ماده می شود که امکان ایجاد تغییر شکل های شدید در مواد با شکل بدیری کم را فراهم می کند [8]. وجود نابجایی² ها طی مراحل زیر می تواند باعث شدن دانه ها شوند:

(1) نابجایی های اولیه که در درون دانه توزیع شده اند، بازآرایی شده و با پیوستن به هم، هسته کوچکی را تشکیل می دهند و سطح انرژی را کاهش می دهند.

(2) با افزایش میزان تغییر شکل، نابجایی های جدید تولید شده و زاویه بین هسته ها افزایش یافته و باعث ایجاد مرزدانه های فرعی³ می گردد.

(3) این فرآیند در داخل این دانه ها تکرار شده تا اندازه هی آن به حد کافی کوچک شود و در نهایت باعث چرخش دانه های تولید شده شوند [9].

توس در سال 2009 لوله های فوق ریزدانه را با استفاده از روش پیچش لوله در فشار بالا⁴ تولید نمود [10]. محبی در سال 2010 روشی جدید تحت عنوان چرخش اتصال تجمعی⁵ جهت تولید این نوع لوله های معروفی کرد [11]. زنگی آبادی و همکارانش در سال 2011 با استفاده از روش فشار در کanal لوله ای⁶ اقدام به تولید لوله های با استحکام بالا کردد [12]. فرجی و همکاران در سال 2011 فرآیند فشار در کanal زاویه دار لوله ای⁷ را به عنوان روشی بهینه، ارزان و با قابلیت صنعتی ابداع نمودند [13]. در سال 2012 فرآیند فشار در کanal زاویه دار لوله ای به صورت موازی⁸ توسط فرجی و همکارانش ابداع و ارائه شد [14]. بایانی و همکاران در سال 2014 با روشن نوین انسپاٹ و روزنرانی متناسب لوله⁹ و تراکم و روزنرانی متناسب لوله¹⁰ توانستند گامی نوآورانه در جهت تولید لوله های مستحکم بردارند [16,15]. جعفرزاده و همکاران روشی را تحت عنوان انسپاٹ و انقباض تناوبی¹¹ معرفی نموده اند و توانسته اند با این روش به موفقیت هایی در تولید لوله های فوق ریزدانه دست یابند [17]. به تازگی نیز تراب زاده و همکاران توانستند با اصلاح عملکرد فرآیند فشار در کanal زاویه دار لوله ای، روشی تحت عنوان افزایش و کاهش تناوبی قطر¹² معرفی نمایند [18]. در مقاله مروري پیش رو ابتدا جنبه های متفاوت جهت بررسی فرآیندها مورد بحث قرار داده می شود. سپس ساختار عملکردی هریک از روش ها به طور کامل بیان می شود تا روند ایجاد تغییر شکل پلاستیک شدید در ماده مشخص گردد. در هر یک از روش های معرفی شده، تغییرات خواص ماده از جنبه های گوناگون مورد بررسی قرار می گیرد تا امکان مقایسه و میزان کارآیی روش ها مشخص شود.

2- مروري بر روش های سنتی تولید لوله

موضوع اصل مقاله پیش رو روش های مدرن تولید لوله های نانوساختار می باشد، ولی در این بخش ابتدا مروري کوتاه بر روش های سنتی لوله های بدون درز

¹ Severe Plastic Deformation (SPD)

² Dislocation

³ Subgrain

⁴ high-pressure tube twisting (HPTT)

⁵ Accumulative spin-bonding (ASB)

⁶ Tube Channel Pressing (TCP)

⁷ Tube Channel Angular Pressing (TCAP)

⁸ Parallel tubular channel angular pressing (PTCAP)

⁹ Tube cyclic expansion-extrusion (TCEE)

¹⁰ Tube Cyclic Extrusion–Compression (TCEC)

¹¹ Repetitive tube expansion and shrinking (RTES)

¹² Cyclic flaring and sinking (CFS)

مشارکت بیشتر لغزش مرzedانه‌ها در تغییر شکل ماده می‌شوند. بنابراین برخی از محققان تعداد فراوان مرzedانه‌ها با زاویه زیاد در مواد فوق ریزدانه را عامل شکل‌پذیری خوب این مواد دانسته‌اند [40]. ثابت شده است در موادی که ریزساختار آنها دارای توزیع دانه به صورت دونمایی^۵ هستند، به طور قابل ملاحظه‌ای شکل‌پذیری افزایش خواهد یافت [41].

3-3- مکانیزم‌های تغییر شکل پلاستیک در مواد فوق ریزدانه

به طور کلی تغییر شکل پلاستیک در مواد می‌تواند از طریق حرکت نابجایی، ایجاد دولقی⁶، استحاله فازی، نفوذ و لغزش مرzedانه‌ای انجام شود. تعدادی از این مکانیزم‌ها به طور هم زمان ممکن است در تغییر شکل ماده مشارکت کنند که این امر به ساختار کریستالی، انرژی نقص انباشتگی⁷، دما، اندازه دانه و حتی نرخ کرنش بستگی دارد. روش‌های تغییر شکل پلاستیک شدید عمدها در دمای اتفاق انجام می‌گیرد، لذا دما تاثیری در مکانیزم تغییر شکل مواد فوق ریزدانه ندارد [30]. لغزش مرzedانه‌ای به همراه نفوذ اتم‌ها در مرzedانه‌ها به عنوان مکانیزم اصلی تغییر شکل در مواد فوق ریزدانه مشاهده شده است. عمده‌ای لغزش مرzedانه‌ای به همراه حرکت نابجایی‌ها شکل می‌گیرد تا پیوستگی بین دانه‌ها برقرار باشد که در مواد فوق ریزدانه منجر به رفتار سوپرپلاستیک خواهد شد [42]. دولقی‌ها عموماً در مواد فوق ریزدانه با ساختار کریستالی هگرگونال یا مواد با ساختار مکعب با وجوده مرکزدار و انرژی نقص انباشتگی کم رخ می‌دهد [43].

4- روش‌های نوین تولید لوله‌های فوق ریزدانه

روش‌های معرفی شده در این مقاله همگی از نوع بالا به پایین هستند، به این ترتیب که با اعمال تغییر شکل پلاستیک شدید به مواد با دانه‌بندی درشت، مواد فوق ریزدانه یا حتی در مقیاس نانو فرآوری می‌شوند [44].

4-1- پیچش لوله در فشار بالا⁸

توث در سال 2009 با معرفی روش پیچش لوله در فشار بالا حقیقتاً گامی مبتکرانه در جهت تولید لوله‌های فوق ریزدانه برداشت. روش ابتکاری وی و همکاران بین صورت بود که در ابتدا لوله با شعاع متوسط r_0 و ضخامت β درون دیسکی صلب قرار می‌گیرد. سپس درون لوله ماندلر قرار می‌گیرد که در حین انجام فرآیند تحت فشار محوری قرار داده می‌شود تا به واسطه انبساط جانسی ماندلر، دیواره لوله از داخل و خارج کاملاً مقید شود. این امر باعث پدید آمدن فشار هیدرولاستاتیکی مناسب بر روی لوله خواهد شد. عملکرد روش پیچش لوله در فشار بالا به صورت شماتیک در شکل 1 آورده شده است. در نهایت، با پیچش دیسک صلبی به اندازه زاویه مشخص γ ، کرنش برشی در لوله‌ها با ضخامت کم را می‌توان از رابطه (2) تخمین زد [10].

$$\gamma = \frac{r_0\beta}{t} \quad (2)$$

البته کرنش برشی در این روش باید به صورت متوسط آن در امتداد ضخامت محاسبه شود. به طور کلی کرنش برشی متوسط ($\bar{\gamma}$) در لوله با شعاع داخلی a و شعاع خارجی b با استفاده از رابطه (3) بدست می‌آید [45].

$$\bar{\gamma} = \frac{\beta}{\ln(\frac{b}{a})} \quad (3)$$

لوله‌های آلومینیومی تحت بررسی ریزساختاری قرار گرفتند که تصاویر گرفته

فوق ریزدانه عموماً دارای بافتی تغییر شکل یافته هستند که بسته به شدت کرنش اعمالی در روش مورد نظر، متفاوت می‌باشند. بافت ماده می‌تواند ناهمسانگردی در ساختار ماده را نشان دهد که با پارامتری تحت عنوان تابع توزیع جهت‌گیری^۱ دانه در ماده معرفی می‌شود [29].

3-2- خواص مکانیکی مواد فوق ریزدانه

3-2-1- استحکام

ریز شدن دانه‌ها در مواد طبق معادله هال-پچ² (رابطه (1)) باعث افزایش استحکام فلز می‌شود.

$$\sigma_y = \sigma_0 + \frac{K}{\sqrt{D}} \quad (1)$$

که در آن D میانگین اندازه دانه‌ها، σ_0 حد تسلیم در ماده درشت دانه (یا تک کریستال) و K نشانگر ثابت ماده است [30]. کاملاً مشهود است که با کاهش اندازه دانه در ماده، استحکام آن افزایش خواهد یافت. اگرچه باید عنوان شود در اندازه دانه کمتر از 20 نانومتر معادله هال-پچ معتبر نیست. در اندازه دانه کمتر از 20 نانومتر به علت غیاب نابجایی‌ها در ریزساختار، با کاهش اندازه دانه، استحکام ماده نیز کم خواهد شد [31]. عمدها در روش‌های تغییر شکل پلاستیک شدید، دانه‌هایی بزرگتر از 20 نانومتر بدست می‌آید که به این علت می‌توان از رابطه هال-پچ بهره برد. با اعمال تغییر شکل پلاستیک شدید، ضمن کاهش اندازه دانه، اتم‌های محلول در مرzedانه‌ها جمع می‌شوند و استحکام مواد افزایش خواهد یافت [32]. دلیل این امر این است که تغییر شکل در ماده به واسطه حرکت نابجایی‌ها ایجاد می‌شود، اگر در مرzedانه‌ها اتم‌های محلول متراکم شده باشند، حرکت نابجایی‌ها دچار اختلال می‌شود که این امر در نهایت منجر به افزایش مضاعف استحکام مواد فوق ریزدانه خواهد شد [33]. عامل دیگری که در مواد فوق ریزدانه باعث افزایش استحکام ماده می‌شود، کرنش سختی³ است. بر اثر اعمال تغییر شکل پلاستیک شدید چگالی عیوبی نظیر نابجایی، جای خالی⁴ و مرzedانه‌های جدید افزایش خواهد یافت. وجود تمامی این عیوب در ماده منجر به افزایش تنفس سیلان ماده می‌شود [35,34]. وجود فشار هیدرولاستاتیک در روش‌های تغییر شکل پلاستیک شدید نقش مهمی در افزایش استحکام مواد فوق ریزدانه ایفا می‌کند؛ بدین ترتیب که در حضور فشار هیدرولاستاتیک تمرکز جاهای خالی در حین تغییر شکل پلاستیک افزایش خواهد یافت. در این حالت نفوذ نابجایی‌ها در جاهای خالی به سختی انجام می‌شود و فرآیند حذف نابجایی‌ها کند می‌شود. در نهایت با کند شدن فرآیند حذف نابجایی‌ها نرخ کرنش سختی افزایش می‌یابد [36].

3-2-2- شکل‌پذیری

امروزه پژوهش‌های فراوانی جهت دستیابی به رفتار سوپرپلاستیک مواد فوق ریزدانه از جنس آلومینیوم، مس و آلیاژ منیزیم صورت گرفته است. اگرچه شکل‌پذیری بسیار خوب حتی در دمای‌های پایین برای مواد فوق ریزدانه گزارش شده است ولی نتایج حاصله با توجه به جنس متفاوت بوده است [37]. بسیاری از تفاسیر ارائه شده سعی بر توجیه شکل‌پذیری خوب مواد فوق ریزدانه داشته‌اند که مهم ترین دلیل آن را اندازه دانه در حد نانو عنوان کرده‌اند [39,38]. از طرفی دیگر عامل اصلی تغییر شکل در مواد فوق ریزدانه لغزش مرzedانه‌ای عنوان شده است. حضور مرzedانه‌ها با زاویه زیاد باعث

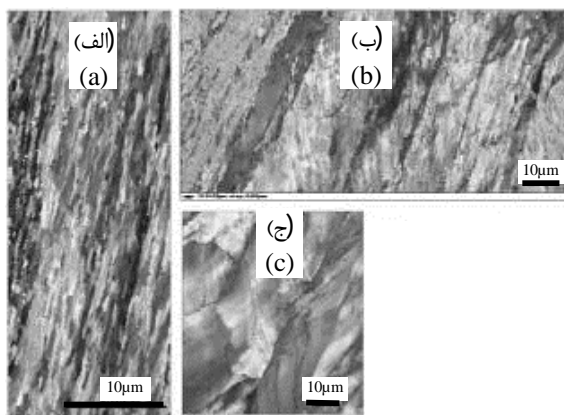
¹ orientation distribution function (ODF)

² Hall-Petch relation

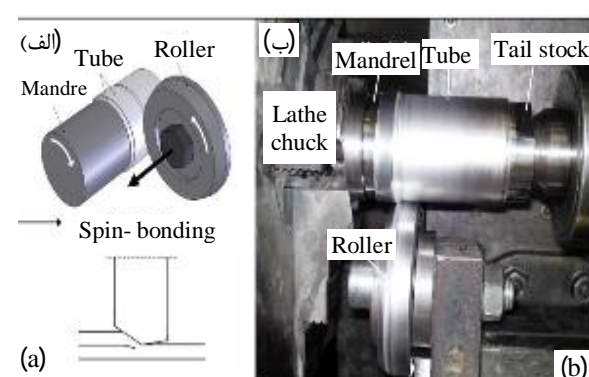
³ strain hardening

⁴ vacancy

⁵ bimodal
⁶ twinning
⁷ stacking fault energy (SFE)
⁸ high-pressure tube twisting (HPTT)



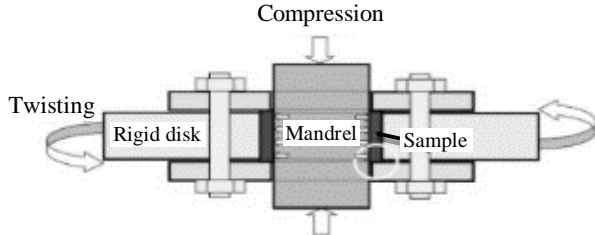
شکل 2 تصویر گرفته شده EBSD از نقاط مختلف روی ضخامت لوله الف- سطح داخلی ب- وسط ضخامت ج- سطح خارجی [46].



شکل 3 (الف) شماتیک اتصال با چرخش ب) نحوه چرخش لوله بر روی ماشین تراش جهت اتصال [11].

ضخامت لوله بالایی که در تماس با غلتک بوده، نازکتر خواهد شد و بدین ترتیب لایه بالایی کاهش ضخامت بیشتری نسبت به لایه زیرین دارد [11]. بررسی های ریزساختاری لوله های آلومینیومی که تحت این روش قرار گرفته اند نشان دهنده کاهش اندازه دانه ها در تعداد سیکل های بالاتر است به صورتی که اندازه دانه ها پس از یک سیکل 1.5 میکرون، پس از دو سیکل 600 نانومتر و پس از 4 سیکل 150 نانومتر اندازه گیری شده است. در مورد روش مشابه اتصال نورد انباشتی² که در مورد ورق ها کاربرد دارد، پس از 9 پاس، به اندازه دانه حدود 270 نانومتر می توان دست یافت [50]. علاوه بر آن همانطور که در شکل 4 قابل مشاهده است، با افزایش تعداد سیکل ها، تجمع نابجایی ها در مرزدانه ها افزایش یافته است که باعث تبدیل مرزدانه های با زاویه کم به مرزدانه های با زاویه زیاد و اصلاح دانه بندی ماده شده است [6].

با افزایش تعداد سیکل ها، می توان ناهمگنی سختی ماده را کاهش داد. علاوه اینکه با افزایش تعداد سیکل ها مقدار سختی نیز افزایش خواهد یافت [11]. سختی در سطح خارجی لوله بیشتر از سایر نقاط است که این مورد را می توان ناشی از کرنش برشی بیشتری دانست که در نقاط برخورد غلتک و لوله ایجاد می شود [51].



شکل 1 تصویر شماتیکی از قالب و نمونه در روش HPTT که به صورت عمودی برش خورده است [10].

شده با استفاده از میکروسکوپ نوری نشانگر تغییر جهت گیری دانه ها به سمت راستی اعمال کرنش برشی بودند [10]. توجه شود که نیروی عمودی وارد شده بر ماندرل هیچ تأثیری بر جریان ماده ندارد، بلکه جریان ماده تنها توسط مولفه برشی تنش اعمال شده کنترل می شود. ثابت شده است که با افزایش مقدار کرنش برشی اعمالی (زاویه چرخش بیشتر)، استحکام ماده افزایش و شکل پذیری آن کاهش خواهد یافت [46]. افزایش چگالی نابجایی درون دانه ها، جهت گیری مرزدانه ها با زاویه بالا در جهت اعمال کرنش برشی و تشکیل دانه های جدید در داخل دانه های درشت قبلی از علل افزایش استحکام در فرآیند پیچش لوله در فشار بالا عنوان شده است [48,47].

یکی از عیوب این روش این است که کرنش برشی اعمالی بر اثر پیچش دیسک تفاوت چشمگیری در داخل و خارج دیواره لوله دارد. هرچه میزان کرنش برشی در نقاط مختلف تفاوت بیشتری داشته باشد، دانه بندی و ریزساختار ماده در این نقاط تفاوت بیشتری دارند و به تبع آن خواص مکانیکی در نقاط مختلف لوله از همگنی خوبی برخوردار نخواهد بود [49]. شکل 2 تصاویر گرفته شده از سه ناحیه داخلی، وسط ضخامت و بیرونی لوله در کرنش برشی متوسط 4 (زاویه چرخش 30 درجه) را نشان می دهد. اندازه اولیه دانه ها در ریزساختار ماده قبل از انجام فرآیند 24 میکرومتر بوده است که پس از اعمال کرنش متوسط 8، تا مقدار 0.5 میکرون کاهش یافته است [46]. از یک طرف فشار لازم جهت انساط ماندرل و تامین فشار هیدرولستاتیک و از طرفی دیگر نیروی لازم جهت پیچش لوله که توسط دیسک صلب اعمال می شود، باعث خواهد شد تا نیروی زیادی در این روش مورد نیاز باشد.

4-2- اتصال تجمعی با چرخش¹

اساس این روش بر اتصال دو لوله توسط یک غلتک گردان است که در امتداد محور خود حرکت می کند. تصویر شماتیک روش اتصال تجمعی با چرخش در شکل 3 آمده است. برای انجام این روش ابتدا لوله ها به صورت محدود درون یک ماندرل قرار می گیرند. ماندرل درون سه نظام ماشین تراش قرار می گیرد و غلتک به عنوان ابزار در محل خود بسته می شود. همزمان با چرخش ماندرل و لوله ها، غلتک در امتداد محور خود در تماس با لوله حرکت می کند و با کاهش ضخامت لوله ها باعث اتصال آنها می شود [11]. نکته مهم در این روش این است که نمی توان لوله ها با ابعاد یکسان را مورد استفاده قرار داد، لذا جهت انجام این روش برای دفعات بالاتر باید محاسبات قطر ماندرل در هر مرحله به دقت انجام گیرد. محبی نیز با بکارگیری محاسبات مناسب برای لوله ها و ماندرل توانسته است این فرآیند را تا چهار بار انجام دهد تا کرنش اعمالی را در حد امکان افزایش دهد. توجه شود که در سیکل های متفاوت

² Accumulative Roll Bonding (ARB)

¹ Accumulative Spin-Bonding (ASB)

لوله با رسیدن به گلوگاه کاهش یافته و با ادامه حرکت داخل کanal، محدوداً به قطر اولیه باز می‌گردد. می‌توان از دو لوله پشت سر هم استفاده کرد تا تغییرشکل پلاستیک شدید به کل اعمال و لوله مورد نظر از سمت دیگر بتواند خارج شود [12]. البته مکانیزم‌های مختلفی برای انجام این روش طراحی شده است ولی مکانیزم مذکور کرنش تجمعی⁴ بیشتری بر روی لوله ایجاد می‌کند و عملکرد ساده‌تر و یکنواختی بیشتر در لوله تولیدی خواهد داشت [53]. محاسبات هندسی ناحیه اعمال کرنش، مقدار کرنش اعمالی پس از یک پاس را در حدود 1.2 تخمین زده است. روش معروفی شده با موفقیت بر روی آلمینیوم 1050 و تا 5 پاس با موفقیت انجام گرفته که نتایج نشانگر دوبرابر شدن حد تسلیم، استحکام نهایی و سختی لوله‌ها نسبت به حالت آغاز شده، می‌باشد. نکته قابل توجه اینکه مقدار بیشینه سختی در وسط ضخامت لوله رخ داده است و نقاط خارجی و داخلی دیواره لوله دارای مقادیر کمینه سختی بوده‌اند [12].

بررسی‌های ریزساختاری نشان از اصلاح دانه‌بندی خوب این روش دارد، به گونه‌ای که اندازه دانه‌ها در نمونه آغاز شده در حدود 1000 میکرون بوده که پس از انجام سه پاس به 400 میکرون و پس از انجام پنج پاس به 200 میکرون کاهش یافته است. در پژوهشی که روش TCP بر روی آلمینیوم 6061 انجام گرفت به اثبات رسید در این روش مکانیزم اصلی اصلاح دانه‌بندی ماده، تقاطع باندهای برشی ریز⁵ است [54]. همانطور که در شکل 6 قابل رویت است، در این مکانیزم با ایجاد تغییرشکل پلاستیک در ماده، در اثر برخورد باندهای برشی ریز، مرزدانه‌ها با زاویه کم پیدی می‌آیند. با اعمال تغییرشکل بیشتر، باندهای برشی همدیگر را قطع می‌کنند و ضمن تشکیل دانه‌های جدید، مرزدانه‌ها با زاویه کم به مرزدانه‌ها با زاویه زیاد تبدیل می‌شوند. در نهایت دانه‌ها با اندازه‌های غیریکنواخت در سطح ماده پخش می‌شوند. در طوریکه دانه‌های درشت‌تر با تعدادی دانه ریز محاصره شده‌اند [55]. بررسی تأثیر عملیات حرارتی نشان داده است که با انجام عملیات حرارتی محلول جامد⁶ (کساعت نگهداری ماده در دمای 803 درجه کلوین) قبل از انجام فرآیند TCP، می‌توان به اندازه دانه 52 نانومتر در آلمینیوم 6061 دست یافت که نشان از اصلاح دانه‌بندی فوق العاده دارد [56].

فشار پشت لوله ضمن افزایش کرنش تجمعی لوله، باعث غیریکنواختی کرنش در امتداد ضخامت لوله به خصوص در پاس‌های بالاتر خواهد شد. نسبت اندازه قسمت خمیده در لوله تولیدی (H) بر طول کل لوله (L) با پارامتر "اتلاف ماده" معرفی می‌شود. در شکل 7 مشخص است که با افزایش فشار پشت لوله، درصد اتلاف ماده کاهش می‌یابد [53]. با افزایش اصطکاک در روش TCP کرنش تجمعی اعمالی بر روی لوله افزایش می‌یابد ولی باعث

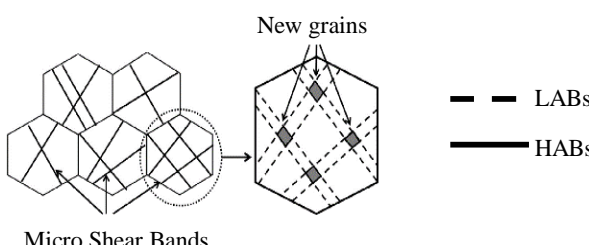


Fig. 6 Schematic illustration of IMSB mechanism [54].

شکل 6 شماتیک مکانیزم تقاطع باندهای برشی ریز (IMSB) [54].

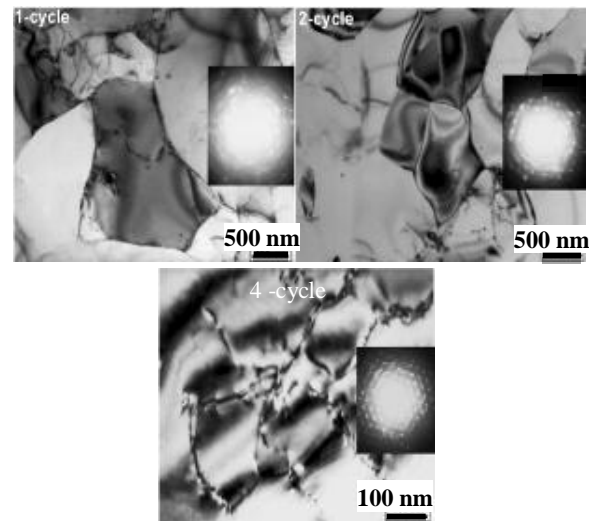


Fig. 4 TEM micrographs of specimens processed at different cycles of ASB [11]

شکل 4 تصاویر گرفته شده با استفاده از میکروسکوپ الکترونی عبوری از نمونه‌ها در پاس‌های مختلف از روش ASB [11].

پس از انجام چهار سیکل، ضمن کاهش شکل پذیری، حد تسلیم¹ و استحکام نهایی² (US) به طور قابل ملاحظه‌ای افزایش خواهد یافت و در مورد آلمینیوم 1050 این مقادیر به 194 و 235 مگاپاسکال خواهد رسید که با پژوهش صورت گرفته توسط ایواهاشی و همکاران [52] مطابقت دارد.

3-4- فشار در کanal لوله‌ای³

زنگ‌آبادی و همکاران روش فشار در کanal لوله‌ای که مراحل آن در شکل 5 نشان داده شده است، ارائه نمودند. این فرآیند شامل کanal استوانه‌ای است که در وسط مسیر کanal، یک گلوگاه با قطر کمتر از قطر اولیه وجود دارد. قطر داخلی لوله توسط ماندرل کنترل می‌شود. در وسط ماندرل، جایی که به گلوگاه کanal می‌رسد، قطر آن مشابه با گلوگاه کاهش می‌یابد؛ به طوری که فاصله بین گلوگاه و ماندرل همواره برابر ضخامت اولیه لوله است. با یک سنبه لوله‌ای شکل از بالا، لوله به داخل کanal فشرده می‌شود. طی این فرآیند قطر

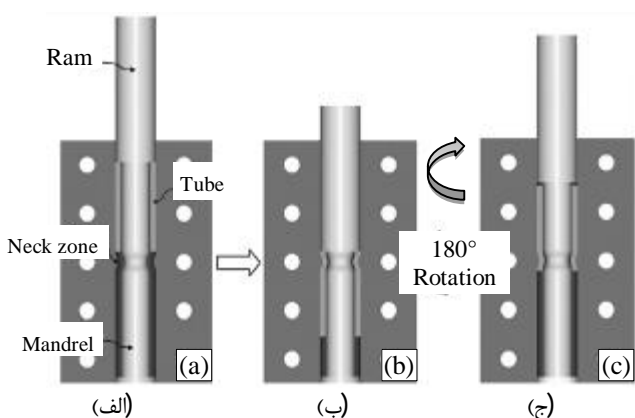


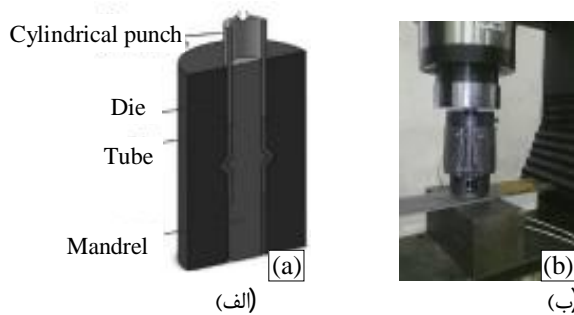
Fig. 5 Schematic of TCP (a) beginning of the first pass, (b) the end of the first pass and (c) beginning of the second pass [12].

شکل 5 شماتیک روش TCP - (الف) ابتدای پاس اول، (ب) انتهای پاس اول، (ج) ابتدای پاس دوم [12].

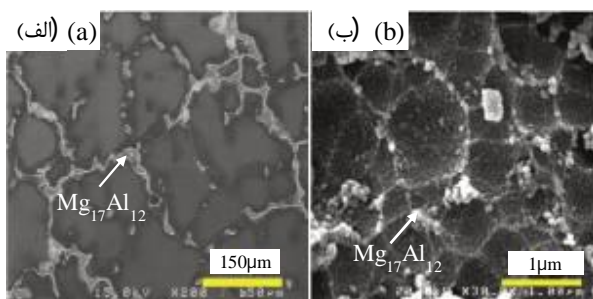
¹ Yield Strength (YS)

² Ultimate Strength (US)

³ Tube Channel Pressing (TCP)



شکل 8 (الف) - شماتیک فرآیند TCAP ب- نصب اجرا به صورت تجربی [57].



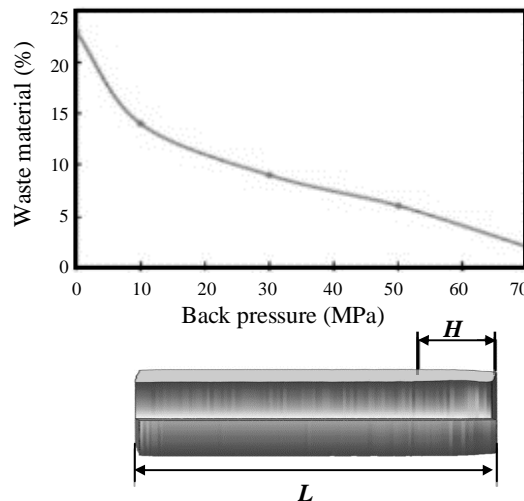
شکل 9 FESEM micrograph of the microstructure of (a) the initial as-cast material and (b) the processed tube along perpendicular to axis direction after first pass TCAP [57].

شکل 9 تصویر FESEM گرفته شده از ریزساختار ماده در جهت عمود بر محور لوله (الف) نمونه اولیه ب- پس از انجام یک پاس فرآیند TCAP [57].

مواد با دانه‌بندی درشت، در مواد فوق ریزدانه نیز حضور خواهد داشت [57]. از روش فشار در کانال‌های زاویه‌دار مساوی³ نیز نتایج مشابه بدست آمد [58] که نشان می‌داد فاز $Mg_{17}Al_{12}$ پس از تغییرشکل پلاستیک شدید در مرزدانه‌ها رسوب خواهد کرد.

فرجی و همکاران بار دیگر با به کارگیری تکنیک ارتعاشات آلتراسونیک⁴ توانستند عملکرد این روش را بهبود بخشدند. نتایج روش فشار در کانال‌های زاویه‌دار مساوی همراه با تکنیک ارتعاشات آلتراسونیک نسبت به حالت معمولی به شرح زیر بدست آمد [59]:

- تکنیک ارتعاشات آلتراسونیک باعث از بین رفتن فاصله ایجاد شده بین لوله و قالب در حین تغییرشکل می‌شود که به تبع آن، کرنش موثر افزایش خواهد یافت.
- به کارگیری تکنیک ارتعاشات آلتراسونیک باعث کاهش انحراف معیار⁵ کرنش موثر در امتداد ضخامت لوله می‌شود که نشانگر افزایش همگنی کرنش است. از طرفی دیگر نیروی مورد نیاز جهت تغییرشکل ماده را کاهش می‌دهد.
- ارتعاش آلتراسونیک در جهت محور لوله‌ها نسبت به ارتعاش شعاعی تاثیر بیشتری بر کرنش اعمالی و نیروی مورد نیاز خواهد داشت.
- ارتعاش محوری قالب نسبت به ارتعاش محوری ماندلر تاثیری بیشتری بر کرنش اعمالی و نیروی مورد نیاز دارد.



شکل 7 تأثیر فشار پشت لوله بر مقدار اتلاف ماده ($\frac{H}{L}$) [53].

شکل 7 تأثیر فشار پشت لوله بر مقدار اتلاف ماده ($\frac{H}{L}$) [53].

غیریکنواختی در توزیع کرنش خواهد شد. باید توجه داشت که اصطکاک بر روی توزیع کرنش در سطوح داخلی و خارجی دیواره لوله تاثیر دارد و بر نقاط وسط دیواره اثر زیادی نخواهد گذاشت [53].

4-4- فشار در کانال زاویه دار لوله‌ای¹

فرآیند فشار در کانال‌های زاویه‌دار لوله‌ای برای اولین بار توسط فرجی و همکاران [13] برای تولید لوله‌های فوق ریزدانه ارائه شد. با توجه به اینکه تنش‌های برشی نقش اساسی در فرآیند ریزدانه شدن فلزات ایفا می‌کنند، این روش عمدتاً بر مبنای اعمال تنش برشی است. اساس این روش و نصب تحریج اجزای آن در شکل 8 نشان داده شده است. لوله در قالبی که دارای یک برآمدگی مثلثی شکل است قرار داده می‌شود و با اعمال فشار توسط سنبه استوانه‌ای، لوله فلزی به داخل کانال زاویه‌دار هم‌محور اکستروژن می‌شود. در اثر عبور لوله از کانال زاویه‌دار، لوله در سه ناحیه تحت تنش کرنش‌های شدید پلاستیک قرار می‌گیرد. بررسی‌های ریزساختاری نشانگر این است که اندازه دانه‌ها درآلیاز منیزیم AZ91 از مقدار اولیه 150 میکرون تنها پس از انجام یک پاس از فرآیند TCAP به 1.5 میکرون رسیده است که نشان از اصلاح دانه‌بندی خوب در این روش است. سختی لوله‌ها با همگنی نسبتاً خوب از مقدار اولیه 51 ویکرز پس از انجام یک پاس فرآیند TCAP به 78 ویکرز رسیده است [13]. این روش بر روی آلیاز منیزیم AZ91 و در دمای 200 درجه سانتیگراد تا 4 پاس مورد آزمایش قرار گرفت تا تغییرات مکانیکی و متالورژیکی آن مورد بررسی قرار گیرد [57]. حد تسلیم و استحکام نهایی آلیاز AZ91 پس از انجام یک پاس به ترتیب 4.3 و 1.4 برابر مقدار اولیه شده است. با بررسی ریزساختار آلیاز AZ91 قبل و پس از انجام فرآیند فشار در کانال زاویه‌دار لوله‌ای می‌توان دریافت که اندازه دانه بندی از 150 میکرومتر به 500 نانومتر کاهش پیدا کرده است. شکل 9 تصاویر گرفته شده با استفاده از میکروسکوپ الکترونی روبشی انتشار میدانی² را نشان می‌دهد. مشخص است که فاز سخت و نامحلول $Mg_{17}Al_{12}$ در مرزدانه پس از انجام تغییرشکل پلاستیک شدید ماده حضور دارد. بنابراین فاز $Mg_{17}Al_{12}$ علاوه بر حضور در

³ Equal-channel angular pressing (ECAP)

⁴ ultrasonic vibration (UV)

⁵ standard deviation (SD)

¹ Tubular Channel Angular Pressing (TCAP)

² Field emission scanning electron microscopy (FESEM)

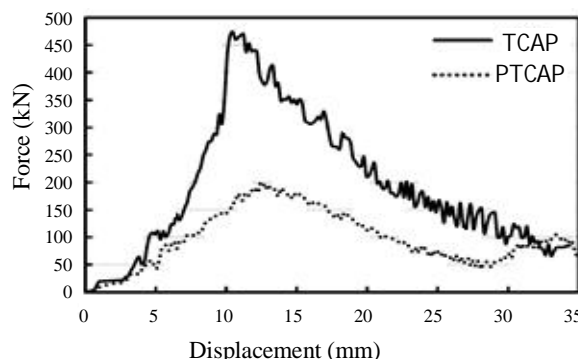


Fig. 11 FEM calculated pressing load during TCAP and PTCAP processes [14].

شکل 11 نیروی محاسبه شده توسط تحلیل المان محدود در روش های PTCAP و [14] TCAP

اثبات شده است که با افزایش تعداد پاس، چگالی نابجایی‌ها درون دانه‌ها کاهش خواهد یافت [61]. بررسی تغییرات خواص مکانیکی در جهات مختلف نشانگر ناهمسانگردی⁴ شدیدی در نمونه‌های فوق ریزدانه شده است. اگرچه بر اثر این روش استحکام و سختی آلیاژ Cu-30%Zn هم در جهت محیطی و هم در جهت محوری افزایش می‌باید ولی تغییرات خواص مکانیکی در جهات محیطی و محوری کاملاً متفاوت است. به طور کلی استحکام ماده فوق ریزدانه شده در جهت محیطی بیشتر از جهت محوری اندازه‌گیری شده است [62].

5-4- فشار در کانال‌های زاویه‌دار لوله‌ای موازی¹

این روش نیز برای اولین بار توسط فرجی و همکاران ارائه شده است. شماتیک این فرآیند که متشکل از دو نیم مرحله می‌باشد، در شکل 10 نشان داده شده است. در مرحله اول فرآیند، لوله اولیه توسط سنبه استوانه‌ای به داخل کانال‌های زاویه‌دار استوانه‌ای با دو ناحیه برشی هم‌محور اکستروود می‌شود و قطر لوله اولیه تا مقدار حداقل طراحی شده افزایش می‌باید. در مرحله دوم، لوله مجدداً توسط سنبه دوم به داخل کانال‌های زاویه‌دار موازی با همان نواحی برشی اکستروود می‌شود و مقطع لوله در این مرحله به اندازه اولیه باز می‌گردد. این روش با موفقیت بر روی لوله‌هایی از جنس مس خالص مورد آزمایش قرار گرفت و نتایج بسیار خوبی کسب شد که می‌توان این فرآیند را گامی موثر و نوآورانه در حل برخی از مشکلات روش‌های روش‌های قبلی دانست [14].

تحلیل المان محدود نشان داد که کرنش اعمالی بر لوله‌ها در این روش از همگنی بسیار خوبی نسبت به روش فشار در کانال زاویه‌دار لوله‌ای برخوردار است و لذا انتظار می‌رود که خواص مکانیکی لوله از جمله سختی همگن تر باشند [30]. پس از انجام یک پاس از این فرآیند، مقدار سختی علاوه بر افزایش یافتن، در امتداد ضخامت لوله‌ها نسبتاً یکسان است که این مورد اولین مزیت روش فشار در کانال‌های زاویه‌دار لوله‌ای موازی نسبت به روش‌های گذشته است [14]. مزیت دیگر این است که این روش نیروی اعمالی کمتری نیاز دارد. شکل 11 نیروی پرس در برابر جابجایی سنبه اعمال نیرو را نشان می‌دهد که توسط تحلیل المان محدود در حین هر دو فرآیند در شرایط یکسان محاسبه شده است. بیشینه نیروی فرآیند فشار در کانال زاویه‌دار لوله‌ای و فشار در کانال‌های زاویه‌دار لوله‌ای موازی به ترتیب برابر 470 و 200 کیلونیوتن است که نشان می‌دهد فرآیند فشار در کانال‌های زاویه‌دار لوله‌ای موازی نیاز به 57.5 درصد نیروی کمتری برای اعمال تغییرشکل دارد [14]. بررسی این روش بر روی مس خالص نشان می‌دهد که پس از انجام یک پاس، در ریزساختار، زیردانه²های مشاهده می‌شود که نابجایی‌ها به صورت درهم پیچیده درون آنها وجود دارند. در پاس دوم دانه‌ها به صورت کشیده درمی‌آیند و چگالی نابجایی‌ها در داخل آنها کاهش می‌باید [60]. با اعمال تغییرشکل پلاستیک بیشتر در پاس سوم، دانه‌های کشیده شده تاپدید می‌شوند و بر اثر بازیابی دینامیکی³ دانه‌های هم محور با اندازه متوسط 150 نانومتر تشکیل می‌شوند. بدین ترتیب ریزساختاری کاملاً همگن ایجاد می‌شود که انتظار می‌رود حاصل آن یکنواختی فوق العاده خواص مکانیکی باشد.

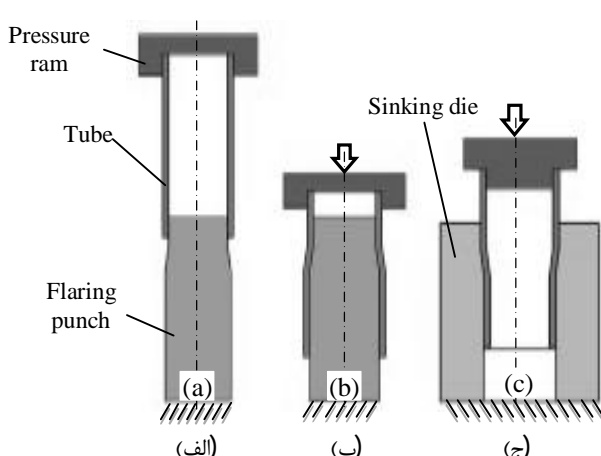


Fig. 12 Schematic of CFS process(a) initial state, (b) the flaring (first half-cycles) and (c) the sinking (second half-cycles) [18].

شکل 12 شماتیک فرآیند افزایش و کاهش تناوبی قطر (نیمسیکل اول)- (نیمسیکل دوم) [18].

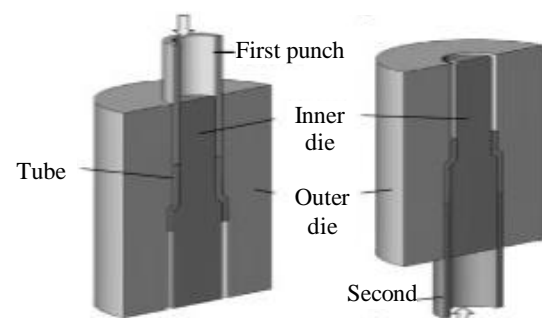


Fig. 10 different steps of PTCAP [61].

شکل 10 مراحل مختلف فرآیند PTCAP [61].

⁴ Anisotropy⁴ Subgrain

⁴ Dynamic recovery

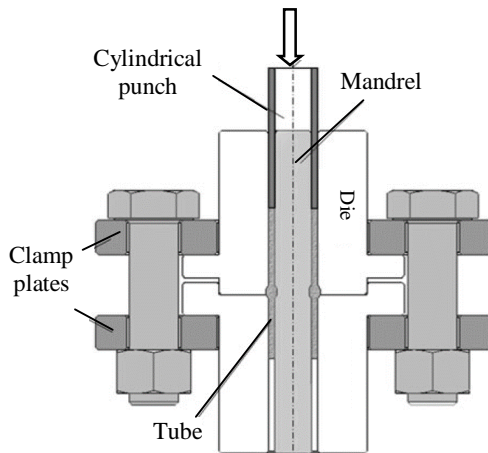
⁴ Anisotropy

⁵ Cyclic flaring and sinking (CFS)

¹ Parallel tubular channel angular pressing (PTCAP)

² Subgrain

³ Dynamic recovery

**Fig. 13 Schematic of TCEC [16].**

شکل 13 شماتیک فرآیند انبساط و روزنرانی متنابض لوله [16].

روش های تغییر شکل پلاستیک شدید همواره مورد توجه محققین قرار گرفته است [16]. نیاز به فشار پشت لوله به عنوان یک عیب برای این روش در نظر گرفته می شود چرا که نیاز به تجهیزات گران قیمت دارد و نیروی موردنیاز را افزایش خواهد داد [16].

4-4- تراکم و روزنرانی متنابض لوله²

بار دیگر روشی جهت تولید لوله های فوق ریزدانه معرفی شد که این بار نیاز به فشار پشت لوله نداشت. شماتیک شیوه های مختلف اجرای آن در شکل 14 نشان داده شده است. در شیوه اول (شکل 14-الف) لوله بین ماندل، محفظه، مهار کننده های بالایی و پایینی به گونه ای قرار داده می شود که کلیرانس کمی داشته باشد و بتواند براحتی حرکت کند. بدین ترتیب لوله در مکانی با حجم ثابت قرار داده می شود تا تغییر شکل پلاستیک کاملاً کنترل شود. سپس ماندل که دارای برآمدگی با هندسه مشخص است از درون لوله با فشار عبور داده می شود تا ناحیه گلوبی بر روی لوله ایجاد شده و کرنش پلاستیک موردنظر اعمال گردد [72].

همچنین این فرآیند می تواند به شیوه ای دیگر (شکل 14-ب) نیز انجام شود، به طوری که لوله به همراه دو مهار کننده بالایی و پایینی به حرکت در آیند و برآمدگی بر روی محفظه تعییشه شود. بدین ترتیب محفظه در جای خود ثابت است و لوله در اثر عبور از روی برآمدگی دچار کرنش پلاستیک خواهد شد [15]. در هر پاس فرآیند TCEC کرنش پلاستیک نسبتاً بالایی در حدود 2 اعمال می شود که انتظار می رود در این روش با تعداد پاس کم، اصلاح دانه بندی به خوبی انجام شود. معرفی کنندگان روش تراکم و روزنرانی متنابض لوله برای اثبات کارآمدی روش خود، آزمایشات را بر روی لوله ها با سه جنس مختلف آلومینیوم 1050،آلیاژ منیزیم AZ91 و مس خالص انجام داده اند. با بررسی این نتایج می توان به تاثیر متفاوت فرآیندهای تغییر شکل پلاستیک شدید بر روی مواد با جنس های مختلف پی برد [73,72,15]. تاثیر این روش بر روی آلومینیوم 1050 مانند آنچه که در روش اتصال نوری اباحتی [74] و بر روی آلیاژ منیزیم AZ91 مانند آنچه که در روش فشار در کanal زاویدار لوله ای [57] و بر روی مس خالص مانند آنچه که در روش روزنرانی پیچشی³ [75] گزارش شده است، رخ می دهد.

مکانیکی مناسب تری در لوله دست یافت [63]. حد تسليم و استحکام نهایی آلومینیوم 1050 به ترتیب تا مقادیر 165 و 173 مگاپاسکال افزایش یافت. با اعمال کرنش برشی بیشتر در پاس های بالاتر، مرزدانه ها با زاویه بزرگ تشكیل می شود که دلیلی بر افزایش استحکام آلومینیوم خالص است [65,64]. در پاس های بالاتر نرخ افزایش استحکام کاهش می یابد که این موضوع احتمالاً به علت بروز ترک های ریز بر اثر تغییر شکل پلاستیک شدید است [67,66]. از طرفی دیگر مقدار سختی لوله از 23 ویکرز درحال اولیه پس از انجام ده پاس به 38 ویکرز رسید. افزایش سختی مواد در طی فرآیندهای تغییر شکل پلاستیک شدید ناشی از تشكیل مرزدانه های زاویه بالا، تشکیل ریزدانه ها و بازیابی دینامیکی است [70-68].

قبل از انجام فرآیند بر روی لوله، اندازه متوسط دانه ها 68 میکرون مشاهده شد که این مقدار پس از انجام هفت پاس به طور قابل ملاحظه ای کاهش یافت و به 1 میکرون رسید. نتایج حاصل از شبیه سازی اجزا محدود نشان داد که در زوایای کانال کمتر از 155 درجه به علت عدم وجود فشار هیدروستاتیک بر سطح بیرونی لوله، اعمال کرنش پلاستیک به صورت ناقص می دهد. از این رو این روش برای زوایای کانال بالای 155 درجه کاربرد دارد [18].

در اکثر فرآیندهای تغییر شکل پلاستیک شدید بخش زیادی از نیروی مورد نیاز صرف غلبه بر اصطکاک در قالب می شود. فرآیند افزایش و کاهش تنایوی قطر با کاهش سطح تماس اضافی می تواند تا مقدار زیادی نیروی مورد نیاز برای اعمال کرنش را کاهش دهد. این امر باعث ساختار عملکردی ساده و کاهش هزینه تولید قالب شده است و نیاز به تجهیزات با توان بالا را نیز مرتفع خواهد کرد. ابتکار دیگر این روش نسبت به روش های گذشته، اعمال تدریجی کرنش است که به نظر می رسد این امر سبب همگنی کرنش اعمال شده می شود که به تبع آن یکنواختی خواص مکانیکی در نقاط مختلف لوله را در پی خواهد داشت.

4-5- انبساط و روزنرانی متنابض لوله¹

بابایی و همکاران در سال 2014 روشی دیگر جهت تولید لوله های مستحکم با استفاده از اعمال تغییر شکل پلاستیک شدید معرفی کردند [16]. همانطور که در شکل 13 نشان داده شده است، حفره های منحنی شکل، نواحی تغییر شکل پلاستیک شدید را ایجاد می کنند. این منحنی ها بر روی ماندل تعبیه شده اند و هنگامیکه ماده به این نواحی می رسد، منبسط می شود. ابتدا لوله بین ماندل و قالب قرار داده می شود و سپس لوله بین دو سنبه فشرده می شود تا ماده درون حفره های منحنی شکل منبسط شود. پس از انبساط، لوله توسط یک سنبه استوانه ای درون حفره های منحنی شکل رانده می شود تا با انبساط و انقباض تناوبی ماده، لوله های فوق ریزدانه تولید شود. این روش بر روی لوله با جنس آلیاژ منیزیم AZ91 [71] با موقیت آزمایش و نتایج مطلوبی حاصل شد. پس از انجام یک و دو پاس، اندازه دانه بندی ماده از مقدار 150 میکرومتر به ترتیب تا مقادیر 2 و 1 میکرومتر کاهش یافته است. تحلیل اجزا محدود نشان داده است که ریزشدن دانه به جهت گیری اولیه دانه ها نسبت به دانه های مجاور بستگی دارد [30]. بررسی های بیشتر بر روی خواص مکانیکی لوله ها، افزایش 2.9 و 2.6 برابری تنفس تسليم و استحکام کششی لوله ها پس از انجام تتها دو پاس را نشان می دهد. بهبود شکل بذیری لوله ها از دستاوردهای دیگر این روش معرفی شده است که به عنوان یکی از مزایای

² Tube Cyclic Extrusion-Compression (TCEC)

³ Twist extrusion (TE)

خروجی دارد. این بار سنبه لوله را به سمت خروجی می‌راند که لوله کاهش قطر دهد و به قطر اولیه d_1 برسد. بدین ترتیب در هر سیکل می‌توان به لوله‌ای فوق ریزدانه شده و با همان قطر اولیه دست یافت و مکرراً این سیکل بر روی لوله انجام شود تا مانند دیگر روش‌های تناوبی، کرنش تجمعی بالایی اعمال گردد [79]. محاسبات و تحلیل اجزا محدود نشان از اعمال کرنش بسیار بالا در حدود 5.8 تنها پس از یک پاس از این فرآیند دارد که مقدار زیادی از آن به صورت کرنش برشی بر ماده اعمال می‌شود. همچنین با افزایش تعداد پاس، یکنواختی در کرنش اعمالی افزایش خواهد یافت که می‌توان از آن به عنوان یکی از مزایای این روش یاد کرد [81,80]. بررسی‌ها بر روی توزیع سختی پس از انجام فرآیند نشان می‌دهد که در امتداد ضخامت لوله همگنی مطلوبی بدست نخواهد آمد به طوریکه سختی دارای بیشترین مقدار در سطح داخلی لوله و کمترین مقدار در سطح خارجی است. از طرفی دیگر بررسی مقادیر سختی در جهت محوری و محیطی لوله حاکی از این است که همگنی نسبتاً خوب در این جهات وجود دارد [80,17]. با توجه به کرنش اعمالی بالا در این روش، ریزساختار ماده نیز باید دچار دگرگونی زیادی شود. انجام یک پاس از فرآیند انقباض و انبساط متناوب لوله باعث شده تا اندازه دانه آلیاژ AZ91 از 150 میکرومتر به 700 نانومتر و در مورد آلومینیوم 1050 از 45 میکرومتر به 320 نانومتر برسد، بعلاوه اینکه در مورد مس خالص می‌توان به مواد نانو (اندازه زیر 100 نانومتر) دست یافت [81,79,17]. منحنی تنش-کرنش مهندسی آلومینیوم 1050 در حالت آبیل شده و پس از یک پاس از این روش ابداعی در شکل 16 آورده شده است. واضح است که ضمن افزایش استحکام ماده، تغییر طول نهایی ماده را کاهش می‌دهد. توجه شود که در مورد آلیاژ منیزیم AZ91، پس از یک پاس فرآیند تغییر طول نهایی ماده از مقدار اولیه 1.7 درصد به 10.1 درصد افزایش می‌یابد که این مورد به علت تغییر بافت³ ماده بر اثر اعمال تغییرشکل پلاستیک شدید روی داده است [82]. بخش عده تغییر طول نمونه تست کشش پس از انجام فرآیند، مربوط به تغییر طول غیرکنواخت نمونه است که این امر را می‌توان به خاصیت سوپرپلاستیک موادی که تحت روش‌های تغییرشکل پلاستیک شدید قرار گرفته‌اند، مربوط دانست [83]. سطح مقطع شکست در نمونه‌های تست کشش می‌تواند نتایج مفیدی را از روند شکست ماده قبل و بعد از فرآیند نشان دهد. همانطور که در شکل 17-الف مشخص است، سطح مقطع نمونه ریختگی شده از آلیاژ AZ91 شامل تعدادی ترک است که نشانگر شکستی ترد با تغییرشکل پلاستیک کم قابل از گسیختگی می‌باشد. این الگوی شکست در آلیاژ AZ91 ناشی از دانه‌بندی درشت و اجزای شکننده بین فلزی در ریزساختار ماده

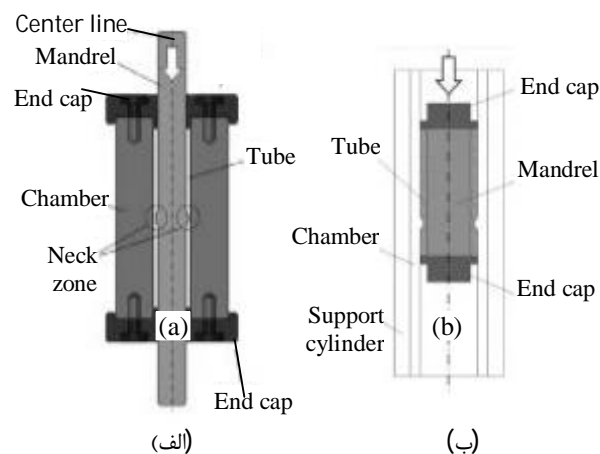


Fig. 14 شماتیک فرآیند TCEC (الف) شیوه اجرایی اول [15] (ب) شیوه اجرایی دوم [72].

شکل 14 شماتیک فرآیند TCEC (الف) شیوه اجرایی اول [15] (ب) شیوه اجرایی دوم [72].

کشش به شدت کاهش خواهد یافت و شکل پذیری ماده کم می‌شود [11]. توجه شود که در پاس‌های بالاتر، مقدار تغییر طول غیرکنواخت نمونه تست کشش با جنس آلومینیوم 1050 افزایش می‌یابد. دلیل این امر این است که با افزایش تعداد پاس، اندازه دانه‌ها کاهش یافته که در مواد با ساختار کریستالی مکعبی با وجود مرکزدار¹ باعث افزایش حساسیت به ترخ کرنش ماده می‌شود [77,76].

از طرفی افزایش حساسیت به نرخ کرنش در مواد با اندازه دانه کمتر از 1 میکرومتر باعث خواهد شد که مقدار تغییرشکل غیرکنواخت ماده افزایش یابد [78].

4-9- انقباض و انبساط متناوب لوله²

جهعفرزاده و همکاران با ارائه روشی که نسبت به روش‌های پیشین ساختار عملکردی متفاوتی داشت توансند گامی مبتکرانه در جهت توسعه روش‌های تولید لوله فوق ریزدانه بردارند. شماتیک این روش در شکل 15 آورده شده که از دو نیم‌سیکل متفاوت تشکیل شده است. در نیم‌سیکل اول لوله با قطر داخلی اولیه d_1 درون محفظه‌ای قرارداده می‌شود که تنها یک روزنه خروجی دارد. سپس سنبه با اعمال فشار بر لوله باعث می‌شود که لوله از روزنه خروجی عبور کرده و به لوله‌ای با قطر داخلی d_2 تبدیل شود ($d_2 > d_1$). در نیم‌سیکل دوم لوله با دیگر درون محفظه قرار می‌گیرد که تنها یک روزنه

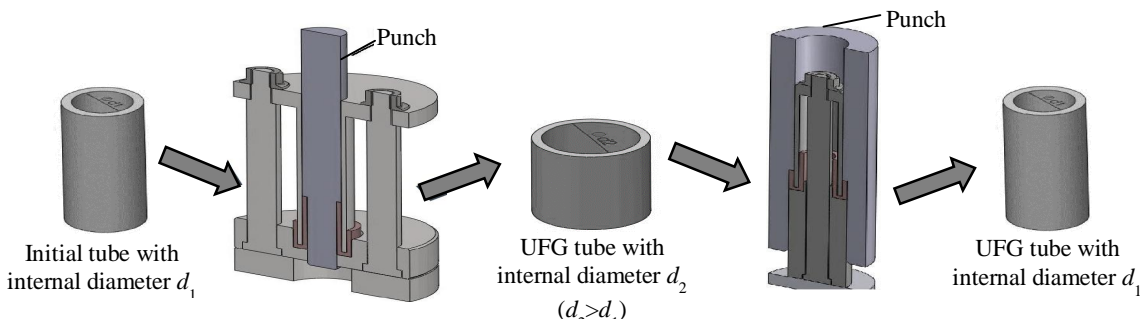


Fig. 15 Schematic of RTES [17].

شکل 15 شماتیک فرآیند RTES [17]

³ Texture

¹ Face center cubic (FCC)

² Repetitive tube expansion and shrinking (RTES)

6- نتیجه گیری

روش های موجود از لحاظ بهبود خواص مکانیکی و اصلاح دانه بندی مواد و مکانیزم تغییر شکل مورد ارزیابی و توصیف قرار گرفته است. روش های مذکور بسته به جنس مورد آزمایش نتایج مختلفی بدست می دهند، بنابراین تغییرات ایجاد شده بر اثر این روش ها باید در مواد با جنس یکسان مقایسه شوند. کمترین اندازه دانه ها که در مواد مختلف بدست می آیند معمولاً بالای 100 نانومتر است و نمی توان به مواد نانوساختار دست یافت. آنچه که یک روش را نسبت به بقیه روش های تغییر شکل پلاستیک شدید پیش رو جلوه می دهد، ارائه مدلی بهینه با امتیازی ویژه یا بهبود یکی از عیوب روش دیگری است. نیاز روزافزون صنعت به لوله های مستحکم از یک سو و از طرف دیگر خواص مکانیکی فوق العاده مواد فوق ریزدانه، پژوهشگران بیشتری را به این موضوع جذب کرد تا هریک به پیشرفت هایی در این زمینه دست یابند. ورود علاقمندان به این زمینه کاری نیازمند تسلط کامل بر روش های گذشته و مقایسه قابلیت های آنها می باشد. معرفی فرآیندی که ضمن داشتن ویژگی های یک روش تغییر شکل پلاستیک شدید، منجر به همگنی کرنش و نیروی مورد نیاز کم گردد، می تواند به عنوان روشی نوین و بهینه مورد قبول واقع گردد. به هر ترتیب به نظر می رسد دستیابی به خواص مکانیکی فوق العاده و بررسی دقیق مکانیزم تغییر شکل در مواد پر کاربرد فوق ریزدانه نیاز به تحقیقات بیشتر دارد.

7- مراجع

- [1] M. Kawasaki, T. Langdon, Principles of superplasticity in ultrafine-grained materials, *Journal of Materials Science*, Vol. 42, No. 5, pp. 1782-1796, 2007.
- [2] K. Máthis, J. Gubicza, N. H. Nam, Microstructure and mechanical behavior of AZ91 Mg alloy processed by equal channel angular pressing, *Journal of Alloys and Compounds*, Vol. 394, No. 1-2, pp. 194-199, 2005.
- [3] H. Matsunoshita, K. Edalati, M. Furui, Z. Horita, Ultrafine-grained magnesium-lithium alloy processed by high-pressure torsion: Low-temperature superplasticity and potential for hydroforming, *Materials Science and Engineering: A*, Vol. 640, pp. 443-448, 2015.
- [4] R. Z. Valiev, R. K. Islamgaliev, I. V. Alexandrov, Bulk nanostructured materials from severe plastic deformation, *Progress in Materials Science*, Vol. 45, No. 2, pp. 103-189, 2000.
- [5] A. P. Zhilyaev, T. G. Langdon, Using high-pressure torsion for metal processing: Fundamentals and applications, *Progress in Materials Science*, Vol. 53, No. 6, pp. 893-979, 2008.
- [6] I. Sabirov, M. Y. Murashkin, R. Z. Valiev, Nanostructured aluminium alloys produced by severe plastic deformation: New horizons in development, *Materials Science and Engineering: A*, Vol. 560, pp. 1-24, 2013.
- [7] R. Valiev, Y. Estrin, Z. Horita, T. Langdon, M. Zechetbauer, Y. Zhu, Producing bulk ultrafine-grained materials by severe plastic deformation, *JOM*, Vol. 58, No. 4, pp. 33-39, 2006.
- [8] A. P. Zhilyaev, B. K. Kim, J. A. Szpunar, M. D. Baró, T. G. Langdon, The microstructural characteristics of ultrafine-grained nickel, *Materials Science and Engineering: A*, Vol. 391, No. 1-2, pp. 377-389, 2005.
- [9] K. Wang, N. R. Tao, G. Liu, J. Lu, K. Lu, Plastic strain-induced grain refinement at the nanometer scale in copper, *Acta Materialia*, Vol. 54, No. 19, pp. 5281-5291, 2006.
- [10] L. S. Tóth, M. Arzaghi, J. J. Fundenberger, B. Beausir, O. Bouaziz, R. Arruffat-Massion, Severe plastic deformation of metals by high-pressure tube twisting, *Scripta Materialia*, Vol. 60, No. 3, pp. 175-177, 2009.
- [11] M. S. Mohebbi, A. Akbarzadeh, Accumulative spin-bonding (ASB) as a novel SPD process for fabrication of nanostructured tubes, *Materials Science and Engineering: A*, Vol. 528, No. 1, pp. 180-188, 2010.
- [12] A. Zangiabadi, M. Kazeminezhad, Development of a novel severe plastic deformation method for tubular materials: Tube Channel

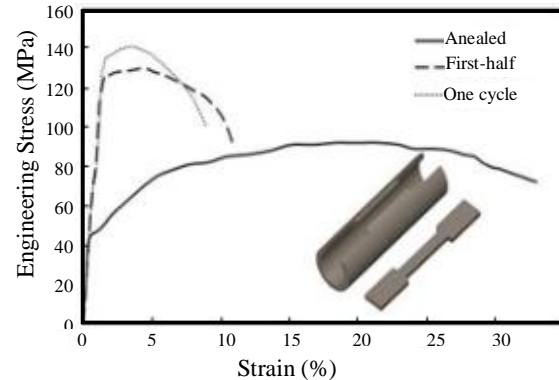


Fig. 16 Stress-strain curves obtained from the tensile tests.

شکل 16 نمودار تنش-کرنش بدست آمده از تست کشش.

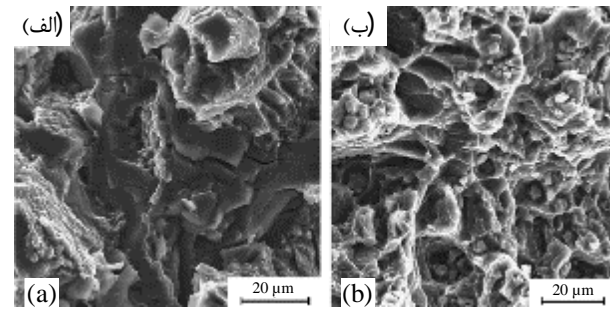


Fig. 17 سطح شکست نمونه تست کشش لوله با جنس AZ91 (الف) - نمونه ریختگی شده ب - تحت قرار گرفته [79].

شکل 17 سطح شکست نمونه تست کشش لوله با جنس AZ91 (الف) - نمونه ریختگی شده ب - تحت قرار گرفته [79].

می شود. در صورتیکه پس از اعمال روش انقباض و انبساط متناوب لوله، سطح شکستی که در شکل 17 ب نشان داده شده است از تعداد زیادی حفره های ریز و یکنواخت تشکیل شده که نشانگر شکستی نرم در ماده است. بنابراین این روش سبب تغییر مکانیزم شکست نمونه ها از شکست ترد به شکست نرم شده است [79]. اگرچه الگوی شکست نرم در بسیاری از مواد تحت تغییر شکل پلاستیک شدید ایجاد می شود [84].

توجه شود که رشد ترک در مرزدانه های مواد ریزدانه بر اثر بارگذاری خستگی نیز گزارش شده است [85].

5- محدودیت های روش های تولید لوله های فوق ریزدانه

اگرچه محققان طی دهه اخیر پیشرفت شگرفی در تولید لوله های فوق ریزدانه و مستحکم داشته اند، اما باید توجه شود که دستیابی به نمونه فوق ریزدانه صنعتی با طول بلند نیاز به پژوهش و تحقیقات بیشتری دارد. روش های مذکور عموماً بر روی نمونه های آزمایشگاهی با طول کم با موفقیت انجام گرفته است. مهمترین محدودیت در روش های مذکور این است که با افزایش طول لوله امکان کمانش بوجود می آید و نتیجه مطلوب حاصل نمی شود.

برخی دیگر از نواقص در لوله های تولیدی در ذیل آورده شده است:

- ناهمگنی کرنش اعمالی و به تبع آن غیر یکنواختی خواص مکانیکی
- زیاد بودن نیروی لازم جهت اعمال تغییر شکل
- تجهیزات پیچیده و گران قیمت
- پلیسیه شدید
- زمان بودن فرآیند

- [34] U. F. Kocks, Laws for work-hardening and low-temperature creep, *Journal of Engineering Materials and Technology*, Vol. 98, No. 1, pp. 76-85, 1976.
- [35] Ø. Ryen, H. Laukli, B. Holmedal, E. Nes, Large strain work hardening of aluminum alloys and the effect of mg in solid solution, *Metallurgical and Materials Transactions A*, Vol. 37, No. 6, pp. 2007-2013, 2006.
- [36] M. J. Zehetbauer, H. P. Stüwe, A. Vorhauer, E. Schafler, J. Kohout, The Role of Hydrostatic Pressure in Severe Plastic Deformation, in: Nanomaterials by Severe Plastic Deformation, *Advanced Engineering Materials*, Vol. 5, No 5, pp. 433-446;, 2005.
- [37] C. Wang, F. Li, L. Wang, H. Qiao, Review on modified and novel techniques of severe plastic deformation, *Science China Technological Sciences*, Vol. 55, No. 9, pp. 2377-2390, 2012.
- [38] J. M. García-Infanta, A. P. Zhilyaev, A. Sharafutdinov, O. A. Ruano, F. Carreño, An evidence of high strain rate superplasticity at intermediate homologous temperatures in an Al-Zn-Mg-Cu alloy processed by high-pressure torsion, *Journal of Alloys and Compounds*, Vol. 473, No. 1-2, pp. 163-166, 2009.
- [39] M. Kai, Z. Horita, T. G. Langdon, Developing grain refinement and superplasticity in a magnesium alloy processed by high-pressure torsion, *Materials Science and Engineering: A*, Vol. 488, No. 1-2, pp. 117-124, 2008.
- [40] Y. Miyahara, Z. Horita, T. G. Langdon, Exceptional superplasticity in an AZ61 magnesium alloy processed by extrusion and ECAP, *Materials Science and Engineering: A*, Vol. 420, No. 1-2, pp. 240-244, 2006.
- [41] Y. M. Wang, E. Ma, Three strategies to achieve uniform tensile deformation in a nanostructured metal, *Acta Materialia*, Vol. 52, No. 6, pp. 1699-1709, 2004.
- [42] T. G. Langdon, Twenty-five years of ultrafine-grained materials: Achieving exceptional properties through grain refinement, *Acta Materialia*, Vol. 61, No. 19, pp. 7035-7059, 2013.
- [43] L. Balogh, T. Ungár, Y. Zhao, Y. T. Zhu, Z. Horita, C. Xu, T. G. Langdon, Influence of stacking-fault energy on microstructural characteristics of ultrafine-grain copper and copper-zinc alloys, *Acta Materialia*, Vol. 56, No. 4, pp. 809-820, 2008.
- [44] L. J. Kecskes, K. C. Cho, R. J. Dowding, B. E. Schuster, R. Z. Valiev, Q. Wei, Grain size engineering of bcc refractory metals: Top-down and bottom-up—Application to tungsten, *Materials Science and Engineering: A*, Vol. 467, No. 1-2, pp. 33-43, 2007.
- [45] A. Pougis, L. S. Tóth, O. Bouaziz, J. J. Fundenberger, D. Barbier, R. Arruffat, Stress and strain gradients in high-pressure tube twisting, *Scripta Materialia*, Vol. 66, No. 10, pp. 773-776, 2012.
- [46] M. Arzaghi, J. J. Fundenberger, L. S. Toth, R. Arruffat, L. Faure, B. Beausir, X. Sauvage, Microstructure, texture and mechanical properties of aluminum processed by high-pressure tube twisting, *Acta Materialia*, Vol. 60, No. 11, pp. 4393-4408, 2012.
- [47] Y. Miyajima, M. Mitsuhashara, S. Hata, H. Nakashima, N. Tsuji, Quantification of internal dislocation density using scanning transmission electron microscopy in ultrafine grained pure aluminium fabricated by severe plastic deformation, *Materials Science and Engineering: A*, Vol. 528, No. 2, pp. 776-779, 2010.
- [48] M. C. V. Vega, R. E. Bolmaro, M. Ferrante, V. L. Sordi, A. M. Kliauga, The influence of deformation path on strain characteristics of AA1050 aluminium processed by equal-channel angular pressing followed by rolling, *Materials Science and Engineering: A*, Vol. 646, pp. 154-162, 2015.
- [49] S. V. Dobatkin, E. N. Bastarache, G. Sakai, T. Fujita, Z. Horita, T. G. Langdon, Grain refinement and superplastic flow in an aluminum alloy processed by high-pressure torsion, *Materials Science and Engineering: A*, Vol. 408, No. 1-2, pp. 141-146, 2005.
- [50] S. O. Gashti, A. Fattah-alhosseini, Y. Mazaheri, M. K. Keshavarz, Effects of grain size and dislocation density on strain hardening behavior of ultrafine grained AA1050 processed by accumulative roll bonding, *Journal of Alloys and Compounds*, Vol. 658, 2016.
- [51] M. Dehghan, F. Qods, M. Gerdooci, Investigation of microstructure and anisotropy of mechanical properties of the ARB-processed commercial purity Aluminium with interpassing heat treatment, *Modares Mechanical Engineering*, Vol. 13, No. 2, pp. 123-132, 2013. (in persian) (فارسی)
- [52] Y. Iwahashi, Z. Horita, M. Nemoto, T. G. Langdon, An investigation of microstructural evolution during equal-channel angular pressing, *Acta Materialia*, Vol. 45, No. 11, pp. 4733-4741, 1997.
- Pressing (TCP), *Materials Science and Engineering: A*, Vol. 528, No. 15, pp. 5066-5072, 2011.
- [13] G. Faraji, M. M. Mashhadi, H. S. Kim, Tubular channel angular pressing (TCAP) as a novel severe plastic deformation method for cylindrical tubes, *Materials Letters*, Vol. 65, No. 19–20, pp. 3009-3012, 2011.
- [14] G. Faraji, A. Babaei, M. M. Mashhadi, K. Abrinia, Parallel tubular channel angular pressing (PTCAP) as a new severe plastic deformation method for cylindrical tubes, *Materials Letters*, Vol. 77, No. 0, pp. 82-85, 2012.
- [15] A. Babaei, M. M. Mashhadi, H. Jafarzadeh, Tube Cyclic Extrusion-Compression (TCEC) as a novel severe plastic deformation method for cylindrical tubes, *Materials Science and Engineering: A*, Vol. 598, No. 0, pp. 1-6, 2014.
- [16] A. Babaei, M. M. Mashhadi, H. Jafarzadeh, Tube Cyclic Expansion-Extrusion (TCEE) as a novel severe plastic deformation method for cylindrical tubes, *Journal of Materials Science*, Vol. 49, No. 8, pp. 3158-3165, 2014.
- [17] H. Jafarzadeh, K. Abrinia, Fabrication of ultra-fine grained aluminium tubes by RTES technique, *Materials Characterization*, Vol. 102, No. 0, pp. 1-8, 2015.
- [18] H. Torabzadeh, G. Faraji, Cyclic Flaring and Sinking (CFS) as a new severe plastic deformation method for thin-walled cylindrical tubes, *Modares Mechanical Engineering*, Vol. 15, No. 8, pp. 411-416, 2015. (in persian) (فارسی)
- [19] T. G. Zhou, Z. Y. Jiang, J. L. Wen, A. K. Tieu, A method to produce aluminum alloy tube busbars by continuous casting-expansion extrusion, *Journal of Materials Processing Technology*, Vol. 177, No. 1-3, pp. 163-166, 2006.
- [20] M. Negendank, S. Müller, W. Reimers, Extrusion of aluminum tubes with axially graded wall thickness and mechanical characterization, *Procedia CIRP*, Vol. 18, pp. 3-8, 2014.
- [21] K. H. Kim, S. J. Cho, K. J. Yoon, J. J. Kim, J. Ha, D. Chun, II, Centrifugal casting of alumina tube for membrane application, *Journal of Membrane Science*, Vol. 199, No. 1-2, pp. 69-74, 2002.
- [22] R. B. Figueiredo, T. G. Langdon, Fabricating ultrafine-grained materials through the application of severe plastic deformation: a review of developments in brazil, *Journal of Materials Research and Technology*, Vol. 1, No. 1, pp. 55-62, 2012.
- [23] M. J. Zehetbauer, R. Z. Valiev, *Nanomaterials by Severe Plastic Deformation*, pp. 18-29, Wiley, 2006.
- [24] B. Han, F. Mohamed, E. Lavernia, Mechanical properties of iron processed by severe plastic deformation, *Metallurgical and Materials Transactions A*, Vol. 34, No. 1, pp. 71-83, 2003.
- [25] J. Y. Huang, Y. T. Zhu, H. Jiang, T. C. Lowe, Microstructures and dislocation configurations in nanostructured Cu processed by repetitive corrugation and straightening, *Acta Materialia*, Vol. 49, No. 9, pp. 1497-1505, 2001.
- [26] R. Z. Valiev, I. V. Alexandrov, Nanostructured materials from severe plastic deformation, *Nanostructured Materials*, Vol. 12, No. 1-4, pp. 35-40, 1999.
- [27] X. Huang, N. Tsuji, N. Hansen, Y. Minamino, Microstructural evolution during accumulative roll-bonding of commercial purity aluminum, *Materials Science and Engineering: A*, Vol. 340, No. 1-2, pp. 265-271, 2003.
- [28] L. S. Tóth, B. Beausir, C. F. Gu, Y. Estrin, N. Scheerbaum, C. H. J. Davies, Effect of grain refinement by severe plastic deformation on the next-neighbor misorientation distribution, *Acta Materialia*, Vol. 58, No. 20, pp. 6706-6716, 2010.
- [29] M. V. Markushev, M. Y. Murashkin, Structure and mechanical properties of commercial Al-Mg 1560 alloy after equal-channel angular extrusion and annealing, *Materials Science and Engineering: A*, Vol. 367, No. 1-2, pp. 234-242, 2004.
- [30] L. S. Toth, C. Gu, Ultrafine-grain metals by severe plastic deformation, *Materials Characterization*, Vol. 92, pp. 1-14, 2014.
- [31] M. P. Phaniraj, M. J. N. V. Prasad, A. H. Chokshi, Grain-size distribution effects in plastic flow and failure, *Materials Science and Engineering: A*, Vol. 463, No. 1-2, pp. 231-237, 2007.
- [32] N. Kamikawa, N. Tsuji, Y. Minamino, Microstructure and texture through thickness of ultralow carbon IF steel sheet severely deformed by accumulative roll-bonding, *Science and Technology of Advanced Materials*, Vol. 5, No. 1-2, pp. 163-172, 2004.
- [33] R. Z. Valiev, Superior strength in ultrafine-grained materials produced by SPD processing, *Materials Transactions*, Vol. 55, No. 1, pp. 13-18, 2014.

- in OFHC copper processed by equal channel angular rolling, *Micron*, Vol. 43, No. 6, pp. 720-724, 2012.
- [69] M. Reihanian, R. Ebrahimi, N. Tsuji, M. M. Moshksar, Analysis of the mechanical properties and deformation behavior of nanostructured commercially pure Al processed by Equal Channel Angular Pressing (ECAP), *Materials Science and Engineering: A*, Vol. 473, No. 1-2, pp. 189-194, 2008.
- [70] R. Z. Valiev, T. G. Langdon, Principles of equal-channel angular pressing as a processing tool for grain refinement, *Progress in Materials Science*, Vol. 51, No. 7, pp. 881-981, 2006.
- [71] B. L. Mordike, T. Ebert, Magnesium: Properties — applications — potential, *Materials Science and Engineering: A*, Vol. 302, No. 1, pp. 37-45, 2001.
- [72] A. Babaei, M. M. Mashhadi, Characterization of ultrafine-grained aluminum tubes processed by Tube Cyclic Extrusion–Compression (TCEC), *Materials Characterization*, Vol. 95, No. 0, pp. 118-128, 2014.
- [73] A. Babaei, M. M. Mashhadi, Tubular pure copper grain refining by Tube Cyclic Extrusion–Compression (TCEC) as a severe plastic deformation technique, *Progress in Natural Science: Materials International*, Vol. 24, No. 6, pp. 623-630, 2014.
- [74] H. Pircazi, A. Akbarzadeh, R. Petrov, L. Kestens, Microstructure evolution and mechanical properties of AA1100 aluminum sheet processed by accumulative roll bonding, *Materials Science and Engineering: A*, Vol. 497, No. 1-2, pp. 132-138, 2008.
- [75] S. R. Bahadori, K. Dehghani, S. A. A. Akbari Mousavi, Comparison of microstructure and mechanical properties of pure copper processed by twist extrusion and equal channel angular pressing, *Materials Letters*, Vol. 152, pp. 48-52, 2015.
- [76] Y. M. Wang, E. Ma, Strain hardening, strain rate sensitivity, and ductility of nanostructured metals, *Materials Science and Engineering: A*, Vol. 375–377, pp. 46-52, 2004.
- [77] Q. Wei, S. Cheng, K. T. Ramesh, E. Ma, Effect of nanocrystalline and ultrafine grain sizes on the strain rate sensitivity and activation volume: fcc versus bcc metals, *Materials Science and Engineering: A*, Vol. 381, No. 1-2, pp. 71-79, 2004.
- [78] N. Takata, Y. Okitsu, N. Tsuji, Dynamic deformation behavior of ultrafine grained aluminum produced by ARB and subsequent annealing, *Journal of Materials Science*, Vol. 43, No. 23-24, pp. 7385-7390, 2008.
- [79] H. Jafarzadeh, K. Abrinia, A. Babaei, Retraction notice to: Repetitive Tube Expansion and Shrinking (RTES) as a novel SPD method for fabrication of nanostructured tubes, *Materials Science and Engineering: A*, Vol. 621, pp. 287, 2015.
- [80] H. Jafarzadeh, K. Abrinia, Retracted Article: Numerical and experimental analyses of repetitive tube expansion and shrinking processed AZ91 magnesium alloy tubes, *Journal of Mechanical Science and Technology*, Vol. 29, No. 2, pp. 733-738, 2015.
- [81] H. Jafarzadeh, K. Abrinia, A. Babaei, Retracted: Applicability of Repetitive Tube Expansion and Shrinking (RTES) as a novel SPD method for fabricating UFGed pure copper tubes, *Materials Science and Engineering: A*, Vol. 609, pp. 65-71, 2014.
- [82] Taku Sakai, H. Miura, *Magnesium Alloys - Design, Processing and Properties*, pp. 44-58, InTech, 2011.
- [83] E. Hosseini, M. Kazeminezhad, Retracted: Nanostructure and mechanical properties of 0-7 strained aluminum by CGP: XRD, TEM and tensile test, *Materials Science and Engineering: A*, Vol. 526, No. 1-2, pp. 219-224, 2009.
- [84] A. Hasnaoui, H. Van Swygenhoven, P. M. Derlet, Dimples on nanocrystalline fracture surfaces as evidence for shear plane formation, *Science*, Vol. 300, No. 5625, pp. 1550-1552, 2003.
- [85] S. Fintová, L. Kunz, Fatigue properties of magnesium alloy AZ91 processed by severe plastic deformation, *Journal of the Mechanical Behavior of Biomedical Materials*, Vol. 42, pp. 219-228, 2015.
- [53] A. Zangiabadi, M. Kazeminezhad, Computation on new deformation routes of tube channel pressing considering back pressure and friction effects, *Computational Materials Science*, Vol. 59, pp. 174-181, 2012.
- [54] M. H. Farshidi, M. Kazeminezhad, H. Miyamoto, Microstructural evolution of aluminum 6061 alloy through tube channel pressing, *Materials Science and Engineering: A*, Vol. 615, pp. 139-147, 2014.
- [55] D. M. Jafarlou, E. Zalnezhad, M. A. Hassan, M. A. Ezazi, N. A. Mardi, A. M. S. Hamouda, M. Hamdi, G. H. Yoon, Severe plastic deformation of tubular AA 6061 via equal channel angular pressing, *Materials & Design*, Vol. 90, pp. 1124-1135, 2016.
- [56] M. H. Farshidi, M. Kazeminezhad, H. Miyamoto, Severe plastic deformation of 6061 aluminum alloy tube with pre and post heat treatments, *Materials Science and Engineering: A*, Vol. 563, pp. 60-67, 2013.
- [57] G. Faraji, P. Yavari, S. Aghdamifar, M. M. Mashhadi, Mechanical and microstructural properties of ultra-fine grained AZ91 magnesium alloy tubes processed via multi pass Tubular Channel Angular Pressing (TCAP), *Journal of Materials Science & Technology*, Vol. 30, No. 2, pp. 134-138, 2014.
- [58] B. Chen, D. L. Lin, L. Jin, X. Q. Zeng, C. Lu, Equal-channel angular pressing of magnesium alloy AZ91 and its effects on microstructure and mechanical properties, *Materials Science and Engineering: A*, Vol. 483-484, pp. 113-116, 2008.
- [59] G. Faraji, M. Ebrahimi, A. R. Bushroa, Ultrasonic assisted tubular channel angular pressing process, *Materials Science and Engineering: A*, Vol. 599, No. 0, pp. 10-15, 2014.
- [60] J. Li, F. Li, C. Zhao, H. Chen, X. Ma, J. Li, Experimental study on pure copper subjected to different severe plastic deformation modes, *Materials Science and Engineering: A*, Vol. 656, pp. 142-150, 2016.
- [61] G. Faraji, M. M. Mashhadi, A. R. Bushroa, A. Babaei, TEM analysis and determination of dislocation densities in nanostructured copper tube produced via parallel tubular channel angular pressing process, *Materials Science and Engineering: A*, Vol. 563, No. 0, pp. 193-198, 2013.
- [62] V. Tavakkoli, M. Afrasiab, G. Faraji, M. M. Mashhadi, Severe mechanical anisotropy of high-strength ultrafine grained Cu-Zn tubes processed by parallel tubular channel angular pressing (PTCAP), *Materials Science and Engineering: A*, Vol. 625, pp. 50-55, 2015.
- [63] H. Torabzadeh, G. Faraji, E. Zalnezhad, Cyclic Flaring and Sinking (CFS) as a new severe plastic deformation method for thin-walled cylindrical tubes, *Transactions of the Indian Institute of Metals*, Vol 69, No 6 pp. 1-6, 2015.
- [64] C. Chen, Y. Beygelzimer, L. S. Toth, J. J. Fundenberger, Microstructure and strain in protrusions formed during severe plastic deformation of aluminum, *Materials Letters*, Vol. 159, pp. 253-256, 2015.
- [65] M. Furukawa, Y. Iwahashi, Z. Horita, M. Nemoto, T. G. Langdon, The shearing characteristics associated with equal-channel angular pressing, *Materials Science and Engineering: A*, Vol. 257, No. 2, pp. 328-332, 1998.
- [66] A. Krishnaiah, U. Chakkingal, P. Venugopal, Applicability of the groove pressing technique for grain refinement in commercial purity copper, *Materials Science and Engineering: A*, Vol. 410-411, pp. 337-340, 2005.
- [67] D. H. Shin, J. J. Park, Y. S. Kim, K. T. Park, Constrained groove pressing and its application to grain refinement of aluminum, *Materials Science and Engineering: A*, Vol. 328, No. 1-2, pp. 98-103, 2002.
- [68] T. Kvačkaj, A. Kováčová, M. Kvačkaj, R. Kočíško, L. Litynská-Dobržinská, V. Stoyka, M. Mihálíková, TEM studies of structure